

III-41 放水路に設けるサージタンクの水理計算について

電力中央研究所 正員 ○千秋信一
全 正員 秋元 保

近時地下式発電所の開発に伴い放水路の水理設計に関するさまざまな問題が提起されるに至り、電研においても電力各社の依頼を受けて、1955年以来、放水路に設けるサージタンクの設計計算法、余水路の合流する放水路内の過渡現象、放水路外の段波現象、サージチャンバーをも含む有圧放水路の問題等、数多くの放水路水理現象を考究してき左。とりわけ長大な有圧放水路の始点に設けるサージチャンバーの水理設計に関しては、いくつかの実際例について、負荷変化に伴うサージングの簡易計算法の展開と、綿密な相似律の適用による模型実験的検証とを実施する機会をもつた。こゝでは、放水路サージタンク設計上のキー要件である負荷遮断時の極限水位を計算する簡便法を説明しよう。

放水位が高く定常状態時に放水路隧道が加圧状態にある場合に負荷の遮断が行われると、放水路始点サージ・チャンバーの水位が下降するが、放水路入口天端以下に下ると放水路外に空気層の進入が起り、次いで逆流によってチャンバー内に上昇するサージが平衡水位をこえてゆれもどし最上昇水位を記録する。この水位が負荷増加時の上昇サージと同程度の重要さでサージタンクの設計に当って検討されなければならぬことは周知の通りである。このような現象の理論的解明は中央大学林泰造教授によって近年発表されている⁽³⁾が、筆者の提案する計算法は立式の仮定の上でこれと若干の相異がある。

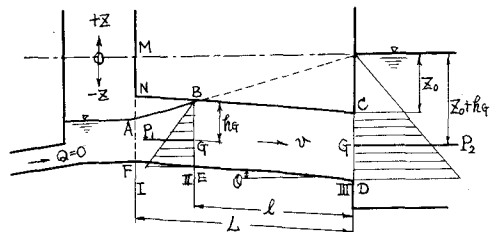
サージチャンバーの水位が放水路隧道の入口天端以上にあるときのサージングの計算は、通常の取水路サージタンクについての計算式と全く同じく、全負荷瞬間遮断時の放水路外の水の運動方程式および連續式は次のようになる。

$$\frac{L}{g} \frac{dv}{dt} = Z \mp \alpha v^2 , \quad f v + F_x \frac{dz}{dt} = 0 \quad (1)$$

この式により負荷遮断後チャンバー水位が下降して放水路隧道入口天端に達するまで、およびゆれもどし水位が放水路隧道入口天端を越えて上昇し最高水位に達するまでのサージング状況を計算することができます。

次に水位が隧道入口天端以下に下り、空気層が放水路内に進入し、ある点まで行って段波が進行がやみ、逆流を生じて水面が徐々に上昇し、水位が再び隧道入口天端に達するまでの水の運動に対しては、図-1のような仮定に基づいて計算式をたてる。運動方程式は断面II-III間の部分に適用し、I-II間の流体部分は放水路部分と一体となって水面の升降を行へ、断面II-III間の管路流とは別個の運動をするものとする。この仮定は模型放水路についての実験観測に基づいて定めたものであつて、林教授の所論と

図-1



相異する実である。このように仮定すると運動方程式は、

$$\frac{L}{g} \frac{dv}{dt} = -z_0 + L\theta \mp \frac{L}{L_f} \alpha v^2 \quad (2)$$

となる。しかして幾何学的な関係により $z_0 = \frac{L}{2} (\angle \theta - z)$ 、従って次の結果が得られる。

$$\frac{L}{g} \frac{dv}{dt} = z_0 \pm \alpha v^2, \quad f v + F \frac{dz}{dt} = 0 \quad (3)$$

$$たゞし F = F_x + f' \frac{L}{L_f - z} \quad (4)$$

この(3)式は(1)式と全く同一の形であり、空気層の進入した場合にも通常の丁字管振動の式と同一の式について解けばよい。たゞし水面積は(4)式に従い、 z に応じて刻々変化する。

以上のべた(1)および(3)式を数値計算してサーチング"カーブ"を追跡することができるが、この方法によつて極限水位を求めることは非常な時間と労力を要するので、各種条件について数値計算を繰返すことは頻繁きわまりない。そこで極限水位を求めるための簡便法として以下の方法を提案する。通常のサーチタンク計算式の無次元表示を用いて、

$$x = \frac{z}{h_0} : \text{サーチング水位}, \quad x_{max} = \frac{z_{max}}{h_0} : \text{極限上昇水位}, \quad y = \frac{Q}{Q_0} = \frac{v}{v_0} : \text{放水路平均流量(流速)}, \quad \varepsilon = \frac{gh_0^2}{L_f v_0^2} : \text{水槽面積}$$

(1)式の運動および連續の2式より時間差を消去して積分し境界条件を与えれば次式が得られる。

$$y_1^2 = x_1 + \frac{1}{2\varepsilon} \left\{ 1 - e^{2\varepsilon(x_1 - 1)} \right\}, \quad \text{こゝに } \varepsilon = \frac{gh_0^2 F_x}{L_f v_0^2} \quad (5)$$

この式により、全負荷瞬間遮断後サーチタンバー水面が放水路隧道入口天端($x=x_1$)に達したときの隧道内流速 y_1 を求めることができる。次に(3)の2式から同様に時間差を消去すれば、

$$-y \frac{dy}{dx} = \varepsilon (x F y^2), \quad \text{こゝに } \varepsilon = \frac{gh_0^2 F_x}{L_f v_0^2} = F(x) \quad (6)$$

$$\text{あるいは } dy/dx = -2\varepsilon (x F y^2) \quad (y^2 = Y) \quad (6')$$

この(6')式は(3)式にくらべ数値計算はきめめて容易であり、簡単に x と y との関係を追跡することができる。こうして、最下降水位 y_2 を経て再びゆれもし水位が入口天端に達したときの y_2 の値が求められれば、ゆれもしによる最上昇水位は次式から算定することができる。

$$x_{max} = \frac{1}{2\varepsilon} + (y_2^2 + x_2 - \frac{1}{2\varepsilon}) e^{2\varepsilon(x_2 - x_{max})}, \quad \text{こゝに } \varepsilon = \frac{gh_0^2 F_x}{L_f v_0^2} \quad (7)$$

以上の簡易計算法によって、与えられた設計条件に対する全負荷瞬間遮断時の極限水位の算定をはじめ、極限水位と放水位との関係、水室面積の効果、水路粗度の影響、サーチングの減衰状況等さまざまな水理検討を迅速に処理することができる。その計算例、模型実験との比較については講演時に述べる。

- (1) 千秋・秋元 "放水路サーチタンクに関する理論的・実験的研究," 電研報告(土木56060), 1956年11月
- (2) 千秋・白水 "長大なサーチタンバーをもつ放水路に関する研究," 電研報告(土木58006), 1958年9月
- (3) 林泰造 "放水路サーチタンバーにおける負荷遮断時のサーチング計算式" 土木学会論文集 第56号, 1958年5月

